

胆沢ダムにおけるテールアルメの変状調査について（その1）

補強土 地震被害評価 変形調査

J F E 商事テールワン(株)

正会員 ○関屋 智明

J F E 商事テールワン(株)

正会員 木村 隆志

財団法人工土木研究センター

正会員 苗村 正三

スペック(株)

国際会員 佐藤 雅宏

1. はじめに

本施設は、胆沢ダム建設用のコア材（グリズリ）の選別施設であり、グリズリホッパーを支えるコンクリート本体擁壁（以下、U型擁壁）と翼壁（テールアルメ）により構築された。2008年6月14日午前8時43分に発生した「平成20年岩手宮城内陸地震」において、U型擁壁が東方向に約0.8m押し出され、テールアルメには壁面の移動とはらみ出しおよび裏込め土の流出が発生し、盛土天端では約1.0mの地盤沈下が確認された。テールアルメの変状は、U型擁壁の滑動や跳ね上がり（2km上流にある石淵ダムの地震記録において鉛直方向に2,070gal（測定上限値）の最大加速度が記録された）により、下端の壁面が座屈等により損傷したため盛土材が流出したと想定¹⁾されている。この時の盛土天端の沈下土量を調査した所、テールアルメの壁面の移動による変化量と裏込め土の流出量との和に良い相関が見られた。

ここでは、被災直後に行った被災度の応急判定と応急対策の概要、および約1年後（供用終了後）にテールアルメのV-s構造を確認するために行った2次元表面波探査について述べる。

2. 被災調査の概要

被災調査は、「補強土壁工法の被災度評価および災害復旧に向けての基本方針等検討委員会」（太田秀樹委員長：財团法人土木研究センター）の報告書²⁾に基づき実施し、被災台帳および被災度応急判定表を作成した。

表-1 被災台帳

補強土壁被災台帳（工法名：テールアルメ）

調査日：2008年6月23日（調査者：佐生、齊藤）

物件概要		災害概要	
物件1号 調査No.47	工事名 胆沢ダムコア材グリズリヤード	災害名 岩手・宮城内陸地震	
所在地（住所） 岩手県胆沢郡胆沢町若柳字空室	施設（路線） 胆沢ダム建設用選別施設（②-2）	種別 地震	
実績・総延長 1,400.57分岐2.6m	施工年月 2004年8月～4年1月	地盤 砂質マニナード	延長 7.2
壁面材等 18cm（プレーン）（仮設）	壁面積 127.1 m ²	地盤勾配 1:10	地盤勾配 1:10
最高堤高 12.73m	設計条件	自重載荷時間	mm/m
上載重なし	基盤地盤	大日雨量	mm/h
壁前面～路肩（本半崩れ）	m	一日雨量	mm
上部法面保護（古切土）	<input type="checkbox"/> 植生 <input type="checkbox"/> 法律 <input type="checkbox"/> アンカ <input type="checkbox"/> コンクリート吹付け <input type="checkbox"/> その他（ ）	その他	
チェック項目		変状の有無	
		変状の状況	
1. 壁面の流出		<input checked="" type="checkbox"/> 有 <input type="checkbox"/> 無	①或出土砂の面積（4.0m ² ）、②流出土砂の平均厚さ（1.5m） ^a ×③（4.0m ² ）
2. 地盤の変状		<input checked="" type="checkbox"/> 有 <input type="checkbox"/> 無	（2.0m ² ） ^b ×（1.5m） ^c （mm）
3. 壁面の形状		<input checked="" type="checkbox"/> 有 <input type="checkbox"/> 無	a) 部分のみ、b) 部分的で1箇所、c) 部分的で複数（ ）箇所、d) 全体
4. 地下、支持力、滑動		<input checked="" type="checkbox"/> 有 <input type="checkbox"/> 無	（ ）箇所
5. 壁面の傾斜		<input checked="" type="checkbox"/> 有 <input type="checkbox"/> 無	a) 壁高の3%未満は300mm以内（壁高の3%～20%）、b) 壁高の20%以上
6. 壁面のひびきの有無		<input checked="" type="checkbox"/> 有 <input type="checkbox"/> 無	a) ひびき幅（200～400mm）、b) 断裂角（20°）
7. 壁面からの排水		<input checked="" type="checkbox"/> 有 <input type="checkbox"/> 無	a) 水跡有り、b) 深み出上、c) 滑り出し、d) 天窓（ ）、e) 流れ（ ）
8. 壁面材の脱落		<input checked="" type="checkbox"/> 有 <input type="checkbox"/> 無	a) 壁高（1枚）、b) 2～5枚、c) 6～10枚、d) 11～20枚、e) 21枚～（一枚）
9. 壁面材の損壊		<input checked="" type="checkbox"/> 有 <input type="checkbox"/> 無	a) 壁高（1枚）、b) 2～5枚、c) 6～10枚、d) 11～20枚、e) 21枚～（一枚）
10. 目地の開き・隙合・ズレ		<input checked="" type="checkbox"/> 有 <input type="checkbox"/> 無	開き：（50mm）、（多箇所）隙合：（50mm）、（多箇所）ズレ：（50mm）、（多箇所）
11. 壁面材全長にクラック		<input checked="" type="checkbox"/> 有 <input type="checkbox"/> 無	0.2mm以下（ ）枚、b) 0.2～1mm（ ）枚、c) 1～2mm（ ）枚、d) 2mm～（ ）枚
12. 破欠・局部クラック		<input checked="" type="checkbox"/> 有 <input type="checkbox"/> 無	破欠：（ ）箇所
13. 増動、軋倒		<input checked="" type="checkbox"/> 有 <input type="checkbox"/> 無	a) 壁高の3%、b) 部分的で1箇所、c) 部分的で複数（ ）箇所、d) 全日
14. クラック		<input checked="" type="checkbox"/> 有 <input type="checkbox"/> 無	0.2mm以下（ ）箇所、b) 0.2～1mm（ ）箇所、c) 1～2mm（ ）箇所、d) 2mm～（ ）箇所
15. 支持力不足による変状		<input checked="" type="checkbox"/> 有 <input type="checkbox"/> 無	a) 壁高の3%未満は300mm以内（壁高の3%～20%）、b) 壁高の20%以上
16. 目地の開き		<input checked="" type="checkbox"/> 有 <input type="checkbox"/> 無	開き：（50mm）、a) 0.2～20mm（ ）、b) 20～50mm（ ）、c) 50mm～（ ）
17. 壁面の変状		<input checked="" type="checkbox"/> 有 <input type="checkbox"/> 無	紙面（ ）、変状の最大値（mm）、（ ）箇所
18. 防護構造物の変状		<input checked="" type="checkbox"/> 有 <input type="checkbox"/> 無	紙面（ ）、変状の最大値（mm）、（ ）箇所
19. 基礎地盤の露出		<input checked="" type="checkbox"/> 有 <input type="checkbox"/> 無	a) 壁面材のみ、b) 洗掘され基礎が露出、c) 基礎下まで洗掘し盛土材が流失
20. 壁面材の剥離		<input checked="" type="checkbox"/> 有 <input type="checkbox"/> 無	a) 排水溝（天端、前面）の機能不全（見切み、不平）、b) 排出側の機能不全（ ）
21. 壁面のクラック、陥没		<input checked="" type="checkbox"/> 有 <input type="checkbox"/> 無	左側の開き（400mm）、右側（ ）（なし）
22. 壁面物の目地の陥没		<input checked="" type="checkbox"/> 有 <input type="checkbox"/> 無	左側（ ）陥没（ 800mm ）、右側（ ）（なし）
23. 壁面構造物との隙合		<input checked="" type="checkbox"/> 有 <input type="checkbox"/> 無	左側（ ）陥没（ 800mm ）、右側（ ）（なし）
24. 壁面構造物の損傷		<input checked="" type="checkbox"/> 有 <input type="checkbox"/> 無	左側（ ）陥没（ 800mm ）、右側（ ）（なし）
25. 上部地盤の損傷		<input checked="" type="checkbox"/> 有 <input type="checkbox"/> 無	左側（ ）陥没（ 800mm ）、右側（ ）（なし）
26. 壁面地盤の損傷		<input checked="" type="checkbox"/> 有 <input type="checkbox"/> 無	左側（ ）陥没（ 800mm ）、右側（ ）（なし）
27. 破損した機械・工具		<input checked="" type="checkbox"/> 有 <input type="checkbox"/> 無	機械（ ）
28. 堤水（水）の地形、沢留		<input checked="" type="checkbox"/> 有 <input type="checkbox"/> 無	概要（ ）
29. 堤面の高さが急傾斜がある		<input checked="" type="checkbox"/> 有 <input type="checkbox"/> 無	（ ）%、（ ）分
30. 周辺に民家等がある		<input checked="" type="checkbox"/> 有 <input type="checkbox"/> 無	壁面上、（ ）上、（ ）その他の（ ）（ ）（ ）が有り

注1) 実測に危険を伴う場合や困難な場合は、目地量の数値を記入し、○で囲むこと。

注2) 位置、範囲等は図面に記入すること。



写真-1 被災状況



被災台帳（表-1）は、物件概要、災害概要、チェック項目、スケッチ・写真・図、コメント・総評から成り、記入方法は調査員が容易に記載できるように、マークシートと折り式が多用され、チェック項目の解説例が添付されているため、補強土の知識が無くても記述できる。

被災度応急判定表（表-2）は、被災台帳を基に作成するが、テールアルメの安定性と関係が深い6項目（壁面材の損傷、目地の開きと段差、土砂の流出、壁面の鉛直度、はらみ出し、基礎フーリングの変位）で評価し、総合判定を行う。評価は、被災台帳の記録から判定し、損傷ランクを決定する。損傷ランクは、次の6段階に分かれる。

Deformation Survey of Reinforced earth in Isawa Dam (Part 1) / Shozo Naemura (Public Works Research Center), Masahiro Sato (Spec), Takashi Kimura and Tomoaki Sekiya (JFE Shoji Terre One)

表-2 被災度評価判定

被災度応急判定表 (補強土(テールアルメ)壁工法) J-47(コア材グリズリヤード②)

危険度 ランク	使用条件	壁面材		壁面材の目地開き、段差		土砂の流出		壁面の落角度		はみ出し		基礎フーナー の変位
		【初期】	【初期】	【修理する壁面材開口部の割合が 10%未満の場合は】	【初期】	【初期】	【初期】	【修理する壁面材開口部の割合が 10%以上の場合】	【初期】	【初期】	【初期】	
VI	使用不可 【初期】	壁面材自体の損傷 壁面材にによる剥離現象 壁面材にによる剥離現象	壁面材自体の損傷 壁面材にによる剥離現象 壁面材にによる剥離現象	10%未満 【初期】	10%以上 【初期】	1 【初期】	5 【初期】	5 【初期】	5 【初期】	1 【初期】	1 【初期】	13.14.15.16 【初期】
V	使用可 【初期】	壁面材自体の損傷 壁面材にによる剥離現象 壁面材にによる剥離現象	壁面材自体の損傷 壁面材にによる剥離現象 壁面材にによる剥離現象	10%未満 【初期】	10%以上 【初期】	— 【初期】	— 【初期】	— 【初期】	— 【初期】	— 【初期】	— 【初期】	— 【初期】
IV	使用可 【初期】	壁面材自体の損傷 壁面材にによる剥離現象 壁面材にによる剥離現象	壁面材自体の損傷 壁面材にによる剥離現象 壁面材にによる剥離現象	10%未満 【初期】	10%以上 【初期】	— 【初期】	— 【初期】	— 【初期】	— 【初期】	— 【初期】	— 【初期】	— 【初期】
III	使用可 【初期】	壁面材自体の損傷 壁面材にによる剥離現象 壁面材にによる剥離現象	壁面材自体の損傷 壁面材にによる剥離現象 壁面材にによる剥離現象	10%未満 【初期】	10%以上 【初期】	— 【初期】	— 【初期】	— 【初期】	— 【初期】	— 【初期】	— 【初期】	— 【初期】
II	使用可 【初期】	壁面材自体の損傷 壁面材にによる剥離現象 壁面材にによる剥離現象	壁面材自体の損傷 壁面材にによる剥離現象 壁面材にによる剥離現象	10%未満 【初期】	10%以上 【初期】	— 【初期】	— 【初期】	— 【初期】	— 【初期】	— 【初期】	— 【初期】	— 【初期】
I	使用可 【初期】	壁面材自体の損傷 壁面材にによる剥離現象 壁面材にによる剥離現象	壁面材自体の損傷 壁面材にによる剥離現象 壁面材にによる剥離現象	10%未満 【初期】	10%以上 【初期】	— 【初期】	— 【初期】	— 【初期】	— 【初期】	— 【初期】	— 【初期】	— 【初期】

【備考】
 VI 使用不可
 壁面材自体の損傷
 壁面材にによる剥離現象
 壁面材にによる剥離現象
 V 応急対策
 壁面材自体の損傷
 壁面材にによる剥離現象
 IV より使用可
 壁面材自体の損傷
 壁面材にによる剥離現象
 III 応急対策
 壁面材にによる剥離現象
 II 応急対策
 壁面材にによる剥離現象
 I 応急対策
 壁面材にによる剥離現象
 【使用条件について】
 使用条件は、最も多く被災判定におけるもので、恒久判定ではこの限りではない。
 Ⅵ 完全に構造または大変形・損傷をして機能を有していない。
 Ⅴ 比較的大きな変形・損傷をしたが、構造物としての機能は当面維持可能。
 Ⅳ 部分的に変形・損傷し安定性は損なわれたが、構造物としての機能は当面可能。
 Ⅲ 全体が変形したが、構造物の安定性に大きく影響しない。
 Ⅱ 部分的に変形・損傷したが、構造物の安定性に大きく影響しない。
 Ⅰ 変形・損傷なし。

注1)本判定表は、被災直後の花色判定用のものであり、恒久的な判定を想定したものではない。

注2)本判定表は、テールアルメのみを対象としたものであり、その周辺、上部の路盤(道路等)については、本表の評価を加味した上で、総合的に評価すること。

VI: 完全に崩壊または大変形し、構造物としての機能を有していない。

V: 比較的大きな変形・損傷をしたが、構造物としての機能は当面維持可能。

IV: 部分的に変形・損傷し安定性は損なわれたが、構造物としての機能は当面可能。

III: 全体が変形したが、構造物の安定性に大きく影響しない。

II: 部分的に変形・損傷したが、構造物の安定性に大きく影響しない。

I: 変形・損傷なし。

調査の結果、今回の損傷ランクは上から3段階目のIVとなり、応急時の使用条件は、「応急対策、観測、使用制限等の単独又は併用により使用可」と判定された。

その後、地震後の余震・降雨による二次災害等が懸念されたため、テールアルメ全体の動態観測を実施し、震度5クラスの余震と降雨を受けたが有意な変状等は確認されなかった。



写真-2 災害復旧(左側押え盛土)



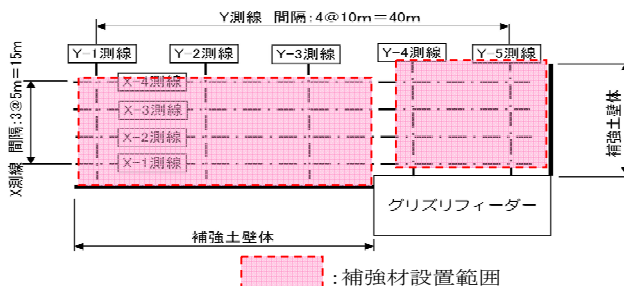
写真-3 灾害復旧(右側押え盛土)

その結果、応急対策は、施設の供用期間が残り1年である事も考慮し、テールアルメの変形と裏込め土のこぼれ出しを防ぐため、押え盛土が採用された。

3. 2次元表面波探査の概要

2次元表面波探査は、盛土構造物内部の可視化技術の一つであり、地表面付近の性状や埋設物（金属の有無など）の影響を受けにくい特徴を有している。本探査では地盤の表面付近を伝わる表面波（レイリー波）を測定解析する事により、側線に沿った深さ20m程度までの地盤のS波速度を求めることが出来る。S波速度は、物体の硬さ等の工学的目安となる剛性率に直接関係する値であり、盛土内部の締まり具合の評価（健全度評価）に有効と考えられる。

本現場においても、盛土の表層部とストリップ敷設位置の中間層の2箇所においてデータ収集を行った。



4. おわりに

図-2 現地計測の概要

写真-4 現地計測

テールアルメの被災度評価の判定手法（応急危険度判定）が提案され、検証されつつある事により、迅速で精度の高い応急判定の可能性が高まっている。しかし、応急判定は目視による判定であり、災害復旧における恒久的な判定手法に対しては十分であるとは言えない。今回実施した2次元表面波探査では、テールアルメのVs構造に着目した健全性評価の可能性が認められつつあり、他の方法による盛土内部の可視化と合わせて、被災したテールアルメの恒久的な健全性評価を提案していきたい。なお、本現場は施設の供用期間の終了に伴う解体・撤去に際して、テールアルメ内部の詳細観測を行う機会を得たため、これに関してはその2³⁾で述べる。

- 《参考文献》
- 木村、太田、酒井、齊藤「地震により被災したテールアルメ壁の信頼性評価」基礎工/2010年2月
 - 財団法人 土木研究センター「補強土壁工法の被災度評価および災害復旧に向けての基本方針に関する報告書」2006年3月
 - 木村、関屋、太田、苗村「胆沢ダムにおけるテールアルメの変状調査について（その2）」第46回地盤工学研究発表会2011（投稿中）

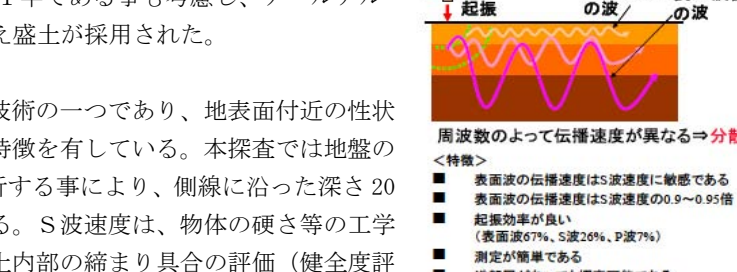


図-1 2次元表面波探査の概要

<特徴>

- 表面波の伝播速度はS波速度に敏感である
- 表面波の伝播速度はS波速度の0.9~0.95倍
- 起振効率が良い（表面波67%、S波26%、P波7%）
- 測定が簡単である
- 逆転層があつても探査可能である